



藏南虎舌兰分类地位的探讨

黄婧, 孙美, 刘玥, 梅丽, 田怀珍

引用本文:

黄婧,孙美,刘,梅丽,田怀珍. 藏南虎舌兰分类地位的探讨[J]. 热带亚热带植物学报, 2024, 32(5): 637–642.

在线阅读 View online: <https://doi.org/10.11926/jtsb.4824>

您可能感兴趣的其他文章

Articles you may be interested in

宽囊异型兰,中国大陆兰科—新记录种

Chiloschista parishii Seidenf. (Orchidaceae), A New Record to Mainland of China

热带亚热带植物学报. 2021, 29(2): 149–150 <https://doi.org/10.11926/jtsb.4278>

中越带唇兰,中国带唇兰属(兰科)—新记录种

Tainia acuminata, A Newly Recorded Species of Orchidaceae from China

热带亚热带植物学报. 2020, 28(3): 245–247 <https://doi.org/10.11926/jtsb.4168>

中国兰科独蒜兰属植物增补

An Additional Note on Two Species of Pleione (Orchidaceae) from China

热带亚热带植物学报. 2019, 27(4): 461–464 <https://doi.org/10.11926/jtsb.3955>

中国大陆菊科二新归化植物

Two Newly Naturalized Species of Asteraceae in Mainland China

热带亚热带植物学报. 2020, 28(5): 523–526 <https://doi.org/10.11926/jtsb.4254>

四花球兰,云南球兰属(夹竹桃科萝藦亚科)—新种

Hoya tetrantha (Apocynaceae, Asclepiadoideae), A New Species from Yunnan, China

热带亚热带植物学报. 2021, 29(2): 139–142 <https://doi.org/10.11926/jtsb.4289>

向下翻页, 浏览PDF全文

藏南虎舌兰分类地位的探讨

黄婧, 孙美, 刘玥, 梅丽, 田怀珍*

(华东师范大学生命科学学院, 上海 200241)

摘要: 为对 *Epipogium sessanum* 的分类地位进行探讨, 通过野外调查、标本比对和文献研究, *Epipogium sessanum* 与虎舌兰 (*E. roseum*) 花部特征差异明显, 建议恢复其独立种地位, 并新拟中文名: 藏南虎舌兰。

关键词: 兰科; 虎舌兰属; 分类修订; 墨脱县

doi: 10.11926/jtsb.4824

Discussion on the Taxonomic Status of *Epipogium sessanum*

HUANG Jing, SUN Mei, LIU Yue, MEI Li, TIAN Huaizhen*

(School of Life Sciences, East China Normal University, Shanghai 200241, China)

Abstract: The taxonomic status of *Epipogium sessanum* was discussed. By field observations and a critical survey of the literature and specimens in herbaria, it was found that *E. sessanum* and *E. roseum* had obvious differences in the flower. It is suggested *E. sessanum* to be reinstated as a distinct species, and a new Chinese name “zang nan hu she lan” is proposed.

Key words: Orchidaceae; *Epipogium*; Taxonomic revision; Motuo (Medog) County

虎舌兰属(*Epipogium* Gmelin ex Borkhausen)属于树兰亚科(Orchidaceae subfam. Epidendroideae)芋兰族(tribe Nervilieae)虎舌兰亚族(subtrib. *Epipogiinae* Schltr)^[1-2], 为菌类寄生植物。虎舌兰属下共计 7 物种, 分布于温带欧亚大陆, 热带非洲至太平洋西南部, 我国 7 种均产^[1,3-5]。肉药兰属(*Stereosandra* Blume)在系统发育位置上与虎舌兰属最相近^[2], 属下目前仅发现肉药兰(*Stereosandra javanica* Bl.) 1 种, 分布于东南亚及太平洋岛屿^[6]。两属的主要差别在于虎舌兰属唇瓣有距, 具花粉团柄 2 个, 而肉药兰属唇瓣无距, 具 2 枚胼胝体, 花粉团柄仅 1 个^[7]。

2021 年 6 月, 本团队于西藏自治区林芝市墨脱县开展兰科植物调查, 发现了数丛白色的菌类寄生兰科植物, 具有纺锤状块茎、花不开展、唇瓣无距等特点, 疑似虎舌兰属或肉药兰属下物种。经过花部解剖观察(图 1)和文献标本研究, 发现该物种蕊柱

粗短, 具有 2 个花粉团柄, 应被划入虎舌兰属, 结合唇瓣无脊无距的特征, 确认该物种应为 *Epipogium sessanum* S. N. Hegde & A. N. Rao。*Epipogium sessanum* 植株整体形态特征与肉药兰属非常相似, 1982 年 Hegde 等^[8]、2013 年 Dalström 等^[9]也持有相似观点。

尽管《中国植物志》^[7]将 *E. sessanum* 处理为虎舌兰的异名, 2003 年 Govaerts 等^[10]和 *Flora of China*^[1]采用了同样的处理方式, 但本研究认为 *E. sessanum* 与近缘物种在多个性状上存在变异的间断, 是一个自然的物种(即“好种”)^[11], 与 2004 年 Manilal 等^[12]的观点一致。*Epipogium sessanum* 与虎舌兰、拉拉山虎舌兰(*E. lalashanense*)较为相似, 植株均为白色几乎不具紫斑, 但在花部性状方面具有明显不同并稳定的特征(表 1): *E. sessanum* 花序较松散, 具花 5~25 朵, 几乎不开放至半开放, 唇瓣不特化, 无距亦无疣突形成的纵脊; 虎舌兰花序较密集, 花朵数

收稿日期: 2023-07-07 接受日期: 2023-11-20

基金项目: 国家自然科学基金项目(32270213)资助

This work was supported by the National Natural Science Foundation of China (Grant No. 32270213).

作者简介: 黄婧(1999 年生), 女, 硕士, 主要从事兰科植物资源及利用研究。E-mail: 473076583@qq.com

* 通讯作者 Corresponding author. E-mail: thz0102@126.com

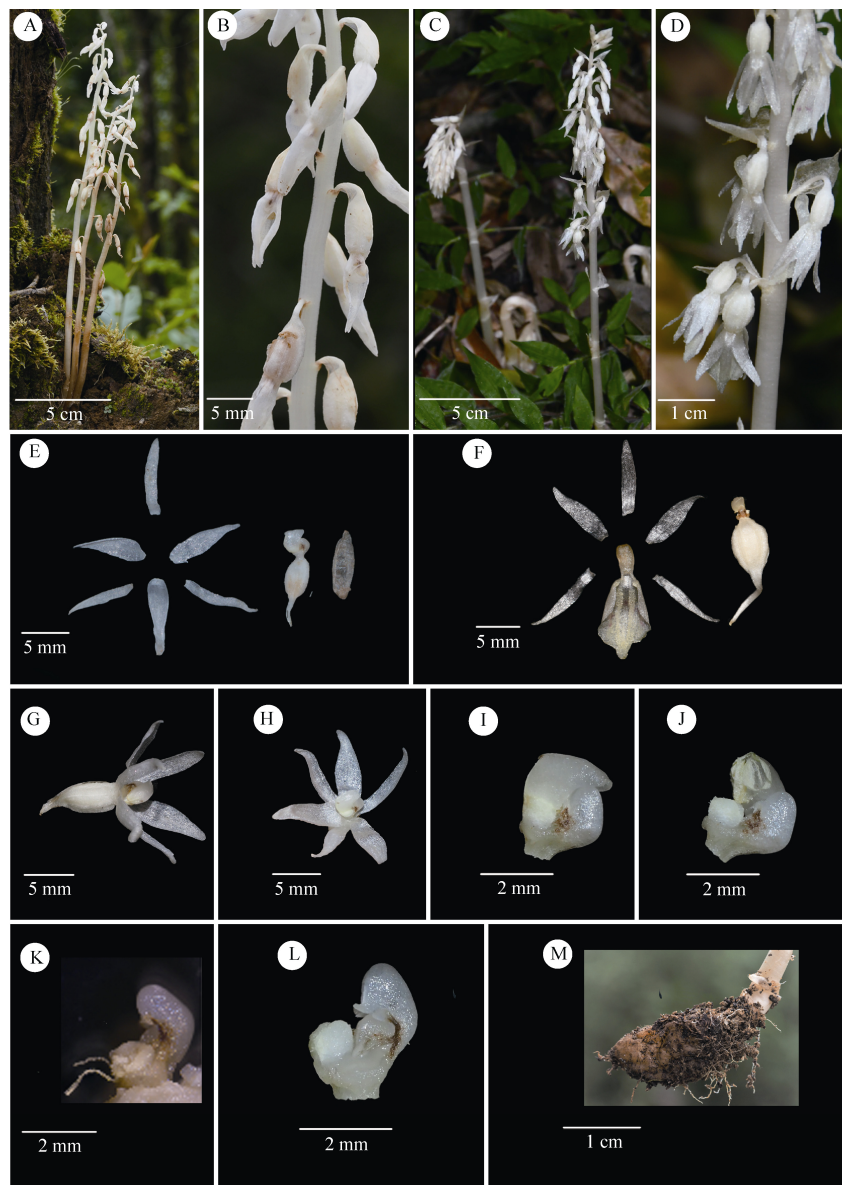


图1 藏南虎舌兰和虎舌兰的形态比较。A, B, E, G~M: 藏南虎舌兰; C, D, F: 虎舌兰。A, C: 生境; B, D: 花序; E, F: 花的解剖; G, H: 花的侧面和正面(人为分开花被片); I~L: 蕊柱; M: 块茎。

Fig. 1 Morphological comparison between *Epipogium sessanum* and *E. roseum*. A, B, E, G~M: *E. sessanum*; C, D, F: *E. roseum*. A, C: Habitat; B, D: Inflorescence; E, F: Flower anatomy; G, H: Side and front view of flowers (artificially-separated perianth segments); I~L: Column; M: Tuber.

表1 藏南虎舌兰、虎舌兰和拉拉山虎舌兰的形态对比

Table 1 Morphological comparison of *Epipogium sessanum*, *E. roseum* and *E. lalashanense*

植物 Species	块茎表面 Tuber surface	花朵数量 Number of flower	花开放程度 Degree of flowering	距长度 (mm) Length of spur	纵脊数量 Number of longitudinal ridge
藏南虎舌兰 <i>E. sessanum</i>	较光滑 Relatively smooth	5~25	不开至半开 Opening partly or not	0	0
虎舌兰 <i>E. roseum</i>	较光滑至凹凸 Relatively smooth or not	2~25	开放至半开放 Opening widely or partly	3.0~5.0	2
拉拉山虎舌兰 <i>E. lalashanense</i>	光滑 Smooth	6~8	半开 Partly opening	3.5~4.5	0

量可到20以上,花开放至半开放,唇瓣特化,有距,具有疣突形成的纵脊;拉拉山虎舌兰花序松散具花

6~8朵,半开放,唇瓣特化,有距,但无疣突形成的纵脊^[13]。

在地理分布方面, *E. sessanum* 与虎舌兰的分布区相近, 与拉拉山虎舌兰分布距离较远。*Epipogium sessanum* 最早由 Hegde 等^[8]于 1982 年发现, 采集于伪“阿鲁纳恰尔邦”西卡门县的塞萨兰花保护区, 该区域实际上属于中国固有领土, 位于西藏自治区山南市错那市境内的达旺地区。本次于墨脱县新发现的 2 个分布点为背崩乡格林村(约 10 株)和墨脱镇仁青崩寺至巴日村途中(3 株)。虎舌兰分布广泛, 我国南部的广东、海南、台湾、西藏、云南均有分布, 在西藏自治区内察隅县(标本: PE00338330, PE00338331, PE00338332, PE00338333)和错那市 ARUN000010452, 采集于伪“阿鲁纳恰尔邦”的伊塔那噶)有分布, 与 *E. sessanum* 在墨脱县、错那市的分布点位置较近, 但无重叠。此外, Vogel 在新几内亚兰花网(<http://www.orchidsnewguinea.com/>)上传的 1 张虎舌兰属植物图片, 植株形态与 *E. sessanum* 十分吻合, 拍摄于印度尼西亚爪哇岛的 Salak 山上; 另外, 1987 年陈心启等^[14]曾提及印度尼西亚存在虎舌兰及其“异常多面对称花(异常整齐花)植株”分布, 但未提到直接引文和标本, 故本研究认为虎舌兰与 *E. sessanum* 的分布位置是否重合有待进一步勘查。此外, 2018 年 Hsieh 等^[4]认为部分亚洲国家存在把垦丁虎舌兰(*E. kentingense*)和间型虎舌兰(*E. meridianum*)误认为虎舌兰的现象, 故有待结合蕊柱特征对以上三者的分布范围进行进一步确认。拉拉山虎舌兰为 2022 年发表采集于台湾的新种, 目前仅在台湾桃园市有记录, 与 *E. sessanum* 分布距离较远^[13]。

具有特化的唇瓣是兰科植物的典型特征之一, 但也有唇瓣不特化, 而与另外 2 枚花瓣形状相似的例子, 如原始类群拟兰属(*Apostasia*)和“异常多面对称花”^[14]。异常多面对称花是指在通常具有两侧对称花的植物类群中, 偶尔出现的多面对称花, 其中

兰科植物较为特殊, 已出现了能够遗传的多面对称个体, 如丝唇美洲兜兰(*Phragmipedium lindenii*)、叉柱兰(*Cheirostylis clibborndyeri*)、金佛山兰(*Cephalanthera nanchuanica*)等^[14-15], *Epipogium sessanum* 的唇瓣与花瓣、花萼十分相似, 形状为白色的卵状披针形, 无乳突、胼胝体等附属物, 长度与花瓣、花萼近乎相等, 而属内其他物种的唇瓣均表现为明显特化, 具有距、三裂、具有斑点、由小乳突形成纵脊等 1 至数个特点, 故 *E. sessanum* 很可能是一个“异常多面对称花”的实体。但 *E. sessanum* 的唇瓣并非与花萼、花瓣完全一样, 在宽度方面, 花萼相对较窄, 1~2 mm, 花瓣宽 2~3 mm, 唇瓣宽达 2~3.5 mm; 花萼先端渐尖, 花瓣先端略尖, 唇瓣先端圆钝, 稍微向下反折; 花萼和花瓣均不裂, 而唇瓣有轻微三裂, 不明显, 在原始文献的墨线图上唇瓣为三裂, 本研究观察到, 两侧裂片先端十分不明显, 仅从侧面偶有见到, 裂口为唇瓣凹面与先端反折处。

根据前人对虎舌兰属系统发育关系的研究结果^[16], 选择天麻(*Gastrodia elata*)为外类群, 选取核基因片段(ITS), 利用最大似然法(maximum likelihood, ML)、贝叶斯推论法(Bayesian inference, BI)构建虎舌兰属植物的系统发育关系。分子材料信息见表 2。

分子材料保存方式、DNA 提取方法、PCR 扩增体系和所用引物参照韩利霞^[17]的方法。使用 Seqman(DNASTAR package)^[18]对公司返回的序列进行校对并手动辅助调整。利用 MEGA version X 10.1.6^[19]将同一片段需利用的所有序列进行比对, 构建单片段数据集。利用 Phylosuite^[20]中的 ModelFinder^[21]计算贝叶斯信息准则, 获得最适模型 TPM2 (BI)、GTR (ML)。打开插件 MrBayes^[22], ModelFinder 分析结果将自动导入, 进行贝叶斯建树分析。BI 分析包括 4 个同时运行的马尔可夫链蒙特卡罗(Markov chain

表 2 本研究分子材料的采集信息

Table 2 Collection information of molecular materials used in this study

植物 Species	材料编号 Material No.	采集日期 Collection date	采集地 Collection location	采集人 Collector	ITS GenBank 登陆号 ITS GenBank Accession No.
虎舌兰 <i>Epipogium roseum</i>	EU711232	—	印度尼西亚	Roy Melanie	EU711232
虎舌兰 <i>E. roseum</i>	YN2105156786	2018.5.6	中国云南西双版纳勐腊县	李剑武	本次提取
藏南虎舌兰 <i>E. sessanum</i>	XZ21062202	2021.6.22	中国西藏林芝墨脱县	孙美等	本次提取
藏南虎舌兰 <i>E. sessanum</i>	XZ21062434	2021.6.24	中国西藏林芝墨脱县	孙美等	本次提取
藏南虎舌兰 <i>E. sessanum</i>	XZ21062435	2021.6.24	中国西藏林芝墨脱县	孙美等	本次提取
裂唇虎舌兰 <i>E. aphyllum</i>	EU711229	—	日本	Roy Melanie	EU711229
裂唇虎舌兰 <i>E. aphyllum</i>	EU711230	—	法国	Roy Melanie	EU711230
裂唇虎舌兰 <i>E. aphyllum</i>	EU711231	—	法国	Roy Melanie	EU711231
天麻 <i>Gastrodia elata</i>	EF090607	—	中国	Xie Y	EF090607

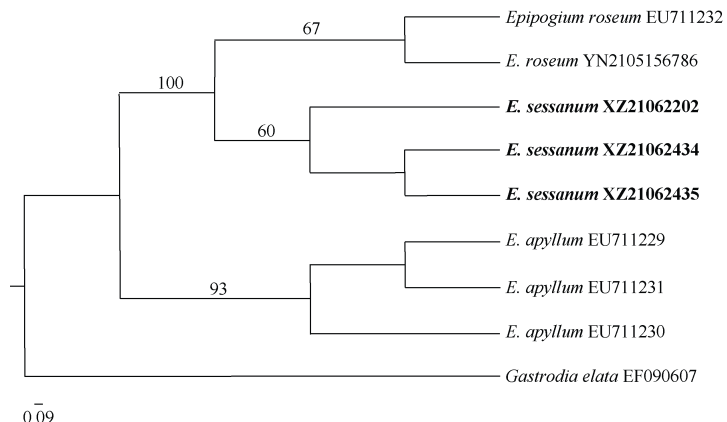


图 2 基于虎舌兰属植物 ITS 序列构建的 ML 系统发育关系树。ML 超快自展支持率显示在分支上方。

Fig. 2 ML phylogenetic tree based on ITS sequences of *Epipogium*. Ultrafast bootstrap support (%) shown above the branches.

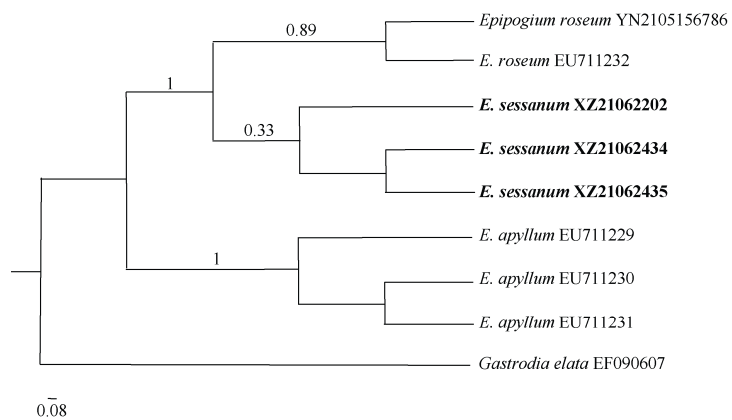


图 3 基于虎舌兰属植物 ITS 序列构建的 BI 系统发育关系树。后验概率显示在分支上方。

Fig. 3 BI phylogenetic tree based on ITS sequences of *Epipogium*. Posterior probability (PP) shown above the branches.

Monte Carlo, MCMC), 运行 300 万代, 每 1 000 代采样 1 次, 初始 25% 的采样数据作为老化值舍去。打开插件 IQ-TREE^[23]对 1 000 次超快自展值(Ultrasfast bootstrap support, UFboot)检验^[24]进行最大似然(ML)分析, 系统发育树在 FigTree 1.4.3 进行修改和美化。

基于虎舌兰属植物 ITS 序列构建的 ML 和 BI 系统发育关系树结果表明, *Epipogium sessanum* 与虎舌兰亲缘关系最近, 得到强烈支持(Ufboot=100, PP=1), 采自墨脱县的 3 个 *E. sessanum* 样品聚为一支, 支持率较低(Ufboot=60, PP=0.3), 推测 ITS 序列变异位点较少, 建议今后增加基因片段, 以获得更准确的系统发育结果。

综合物种形态特征、分布范围和系统发育关系, *Epipogium sessanum* 具有较光滑的纺锤形块茎、较松散的花序、不开至半开的花、唇瓣无距无纵脊等明显的识别特点, 目前仅记录分布于中国西藏南

部(错那、墨脱)和印度尼西亚(爪哇)。本文认为应恢复 *E. sessanum* 的物种地位, 并新拟中文名藏南虎舌兰, 分类处理和具体描述如下。同时, 整理虎舌兰属各物种检索表, 以方便属内物种鉴别。

藏南虎舌兰 新拟

Epipogium sessanum S. N. Hegde & A. N. Rao in J. Econ. Taxon. Bot. 3: 598. 1982 **nom. restituendum**.
Type: INDIA: Arunachal Pradesh, West Kameng District, West Kameng, Sessa Orchid Sanctuary, June 1981, S.N. Hegde 3800 (holotype: s.n. Orchid Herbarium, Tipi); S.N. Hegde 3945 (paratype: CAL00000 00668 photo!); S.N. Hegde 3800 B (paratype: s.n. Orchid Herbarium, Tipi).

菌类寄生植物, 植株高 15~30 cm。块茎纺锤状至长圆状, 肉质, 节状, 横卧, 1.5~4 cm×1~2.5 cm。茎直立, 黄白色, 无绿叶, 光滑无毛, 节上具膜质、

透明、褐色管状鞘。花序总状，具 5~25 朵花，松散排列；花苞片披针形，膜质透明，白色或稍带淡黄棕色，短于子房，长 6~7 mm。花下垂，不甚开放，白色；花梗和子房长约 1 cm。萼片条状，先端锐尖，7~8 mm×1~2 mm；花瓣披针形，8~9 mm×2~3 mm，比萼片宽，先端锐尖，略偏斜；唇瓣与花瓣相似，卵形披针形，先端较钝，8 mm×2~3.5 mm，全缘，稍凹，先端稍微向下反折，凹部至先端连接处或有轻微三裂，不明显，无距或囊，无胼胝体。蕊柱粗短，肉质，无蕊喙，长约 2 mm；花药粒粉质，花粉块 2，棍棒状，花粉团柄 2。花果期 4 月—6 月。

其他引证标本：中国. 西藏，墨脱县，仁钦崩寺至巴日村，2021 年 6 月 22 日，孙美、黄婧、张振等 21062202 (HSNU!)；格林村，2021 年 6 月 24 日，泡花标本，孙美、黄婧、张振等 21062434 (HSNU!)

虎舌兰(*E. roseum*)相关引证标本：中国：西藏，察隅县，海拔 1 500 m，1980 年 7 月 7 日，倪志诚、汪永泽、次多等 0510 (PE00338330, PE00338331, PE 00338332, PE00338333, photo!); 云南，勐海县，海拔 1 540 m, 1936 年 3 月，王启无 73790 (PE00338325, photo!); 澜沧拉祜族自治县，海拔 1 300 m, 1936 年 3 月，王启无 76736 (PE00338323, PE00338324, photo!); 富宁县，海拔 700 m, 1940 年 5 月 24 日，王启无 89556 (IBSC0626688, PE00338326, PE00338327, photo!); 金平苗族瑶族傣族自治县，海拔 500 m, 1956 年 4 月 22 日，中苏联合云南考察团 785 (PE00338321, photo!); 金平苗族瑶族傣族自治县，海拔 700 m, 1956 年 4

月 27 日，中苏联合云南考察团 862 (PE00338322, photo!); 西畴县，海拔 1 200 m, 1984 年 5 月 28 日，傅德志 84316 (PE00338328, PE00338329, photo!); 景洪市大渡岗乡，海拔 1 000 m, 2013 年 5 月 4 日，李剑武 3066 (HITBC 0028343, photo!); 勐海县打洛镇，海拔 750 m, 2013 年 6 月 9 日，李剑武 3250 (HITBC 0028399, photo!); 广西，南丹县，2018 年 5 月 30 日，南丹普查队 451221180530047LY (GXMG0200819, photo!); 贵港市港北区，2019 年 5 月 3 日，马仲辉等 450802190503002LY (GXMG0213168, photo!); 广东，英德市，1920 年 5 月 18 日，梁向日 60675 (PE00338318, PE00338319, photo!); 乳源瑶族自治县，1973 年 5 月 31 日，粤 7300442 (IBSC0626692, PE00338320, photo!); 始兴县，1983 年 5 月 25 日，王学文 565 (IBSC0626693, photo!); 海南，崖县，1933 年 5 月 2 日，侯宽昭 70660 (IBSC0626691, photo!); 保亭县，1935 年 4 月 10 日，侯宽昭 71790 (IBSC0626690, photo!); 崖县，1975 年 4 月 23 日，钟义 60157 (IBSC0626689, photo!); 乐东县，2014 年 4 月 25 日，张挺、刘成、王茜茜 14CS8683 (KUN1393893, photo!)。喀麦隆(CAMEROON)：Ambas Bay, February 1861, G. Mann 784 (K000306659)。日本(JAPAN)：May 1899, S. Tanaka s.n. (K000942698)。尼泊尔(NEPAL)：1818, N. Wallich s.n. (BM000061526)。印度尼西亚(INDONESIA)：Java, November 1998, C. L. Blume 723 (L0063932)。印度(CAMEROON)：Coorg, Serdorn, June 1759, R. Wight s.n. (K000942697)。

虎舌兰属分种检索表

1. 花不倒置，具珊瑚状根状茎，唇瓣近基部 3 裂	2
1. 花倒置，具肉质块茎，唇瓣不裂或不明显的 3 裂	3
2. 距粗大，长约 5~8 mm，宽 4~5 mm，先端浑圆，稍向前伸	裂唇虎舌兰 <i>E. aphyllum</i>
2. 距细长，长约 11~13 mm，先端渐尖，并强烈向前弯曲	台湾虎舌兰 <i>E. taiwanense</i>
3. 唇瓣透明，无疣突、纵脊、斑点和条带	4
4. 唇瓣有距	拉拉山虎舌兰 <i>E. lalashanense</i>
4. 唇瓣无距	藏南虎舌兰 <i>E. sessanum</i>
3. 唇瓣具密生小疣的纵脊、斑点或条带	5
5. 花开展	6
5. 花不全开	7
6. 唇瓣先端反折，距向后突起，平行于子房	垦丁虎舌兰 <i>E. kentingense</i>
6. 唇瓣向下平伸，距下垂，稍向前弯曲	日本虎舌兰 <i>E. japonicum</i>
7. 花多而密集，几乎不具斑点	虎舌兰 <i>E. roseum</i>
7. 具花 3~10 朵，具紫斑	间型虎舌兰 <i>E. meridianum</i>

参考文献

- [1] CHEN S C, GALE S W, CRIBB P J. *Epipogium* Gmelin ex Borkhausen [M]// WU Z Y, RAVEN P H, HONG D Y, et al. Flora of China, Vol. 25. Beijing: Science Press, and St. Louis: Beijing & Missouri Botanical Garden Press, 2009: 207–209.
- [2] CHASE M W, CAMERON K M, FREUDENSTEIN J V, et al. An updated classification of Orchidaceae [J]. Bot J Linn Soc, 2015, 177(2): 151–174. doi: 10.1111/boj.12234.
- [3] Plants of the World Online. *Epipogium* Borkh. [DB/OL]. (2023-07-07) <https://powo.science.kew.org/taxon/urn:lsid:ipni.org:names:29435-1>.
- [4] HSIEH F M, SHEN P N, LIU C H, et al. Newly discovered native orchids of Taiwan (XI) [J]. Taiwania, 2018, 63(3): 241–247. doi: 10.6165/tai.2018.63.241.
- [5] WU X F, LIU Q, TANG Y, et al. *Epipogium taiwanense*, a detail morphological description and additional new record to China's mainland [J]. Phytotaxa, 2020, 453(1): 43–48. doi: 10.11646/phytotaxa.453.1.4.
- [6] Plants of the World Online. *Stereosandra javanica* [DB/OL]. (2023-07-07) <https://powo.science.kew.org/taxon/urn:lsid:ipni.org:names:659426-1>.
- [7] CHEN S C, TSI Z H, LANG K Y, et al. Flora Reipublicae Popularis Sinicæ, Tomus 18 [M]. Beijing: Science Press, 1999: 43. [陈心启, 吉占和, 郎楷永, 等. 中国植物志, 第18卷 [M]. 北京: 科学出版社, 1999: 43.]
- [8] HEGDE S N, RAO A N. *Epipogium sessanum* Hegde et Rao: A new species of orchid from Arunachal Pradesh, India [J]. J Econ Taxon Bot, 1982, 3: 597–601.
- [9] DALSTRÖM S, GURUNG D B. Orchids of Bhutan: III. The genus *Epipogium* in Bhutan [J]. Orchids, 2013, 82(12): 735–739.
- [10] GOVAERTS R H A. World Checklist of Monocotyledons Database in ACCESS: 1–71827 [EB]. Kew, UK: The Board of Trustees of the Royal Botanic Gardens, 2003.
- [11] HONG D Y. Opinion of raising rationality in species delimitation [J]. Biodiv Sci, 2016, 24(3): 360–361. [洪德元. 关于提高物种划分合理性的意见 [J]. 生物多样性, 2016, 24(3): 360–361. doi: 10.17520/biods.2016075.]
- [12] MANILAL K S, KUMAR C S. Orchid Memories: A Tribute to Gunnar Seidenfaden [M]. Calicut: Mentor Books, 2004: 148.
- [13] YING S S. New Taxa New Names, Vol. 5 [M]. Taiwan, China: Research Center of Flora of Taiwan, 2022: 472.
- [14] CHEN S C, TSI Z H. *Eria mēdogensis*, a probably peloric form of *Eria coronaria*, with a discussion on peloria in Orchidaceae [J]. Acta Phytotax Sin, 1987, 25(5): 329–339. [陈心启, 吉占和. 墨脱毛兰, 一个可能的“异常整齐花”型, 兼论兰科中“异常整齐花”现象 [J]. 植物分类学报, 1987, 25(5): 329–339.]
- [15] LAI D D, GAO X, CHEN B H. *Cheirostylis clibborndyeri*: Another example of “abnormal polyhedral symmetry flowers” in Orchidaceae [J]. Biol Teachnol, 2022, 47(3): 94–95. [赖丹丹, 高欣, 陈炳华. 叉柱兰——兰科“异常多面对称花”的又一实例 [J]. 生物学教学, 2022, 47(3): 94–95.]
- [16] ROY M, YAGAME T, YAMATO M, et al. Ectomycorrhizal inocybe species associate with the mycoheterotrophic orchid *Epipogium aphyllum* but not its asexual propagules [J]. Ann Bot, 2009, 104(3): 595–610.
- [17] HAN L X. Systematics revision of *Anoectochilus* (Orchidaceae) [D]. Shanghai: East China Normal University, 2019. [韩利霞. 金线兰属 (*Anoectochilus*) (兰科) 的系统分类研究 [D]. 上海: 华东师范大学, 2019.]
- [18] BURLAND T G. DNASTAR's Lasergene sequence analysis software [J]. Bioinfor Meth Prot, 1999: 71–91.
- [19] KUMAR S, STECHER G, LI M, et al. MEGA X: Molecular evolutionary genetics analysis across computing platforms [J]. Mol Biol Evol, 2018, 35(6): 1547.
- [20] ZHANG D, GAO F, JAKOVLIC I, et al. PhyloSuite: An integrated and scalable desktop platform for streamlined molecular sequence data management and evolutionary phylogenetics studies [J]. Mol Ecol Resour, 2020, 20(1): 348–355. doi: 10.1111/1755-0998.13096.
- [21] KALYAANAMOORTHY S, MINH B Q, WONG T K F, et al. ModelFinder: Fast model selection for accurate phylogenetic estimates [J]. Nat Meth, 2017, 14(6): 587–589. doi: 10.1038/nmeth.4285.
- [22] RONQUIST F, TESLENKO M, VAN DER MARK P, et al. MrBayes 3.2: Efficient Bayesian phylogenetic inference and model choice across a large model space [J]. Syst Biol, 2012, 61(3): 539–542. doi: 10.1093/sysbio/sys029.
- [23] NGUYEN L T, SCHMIDT H A, VON HAESELER A, et al. IQ-TREE: A fast and effective stochastic algorithm for estimating maximum-likelihood phylogenies [J]. Mol Biol Evol, 2015, 32(1): 268–274. doi: 10.1093/molbev/msu300.
- [24] MINH B Q, NGUYEN M A T, VON HAESELER A. Ultrafast approximation for phylogenetic bootstrap [J]. Mol Biol Evol, 2013, 30(5): 1188–1195. doi: 10.1093/molbev/mst024.